

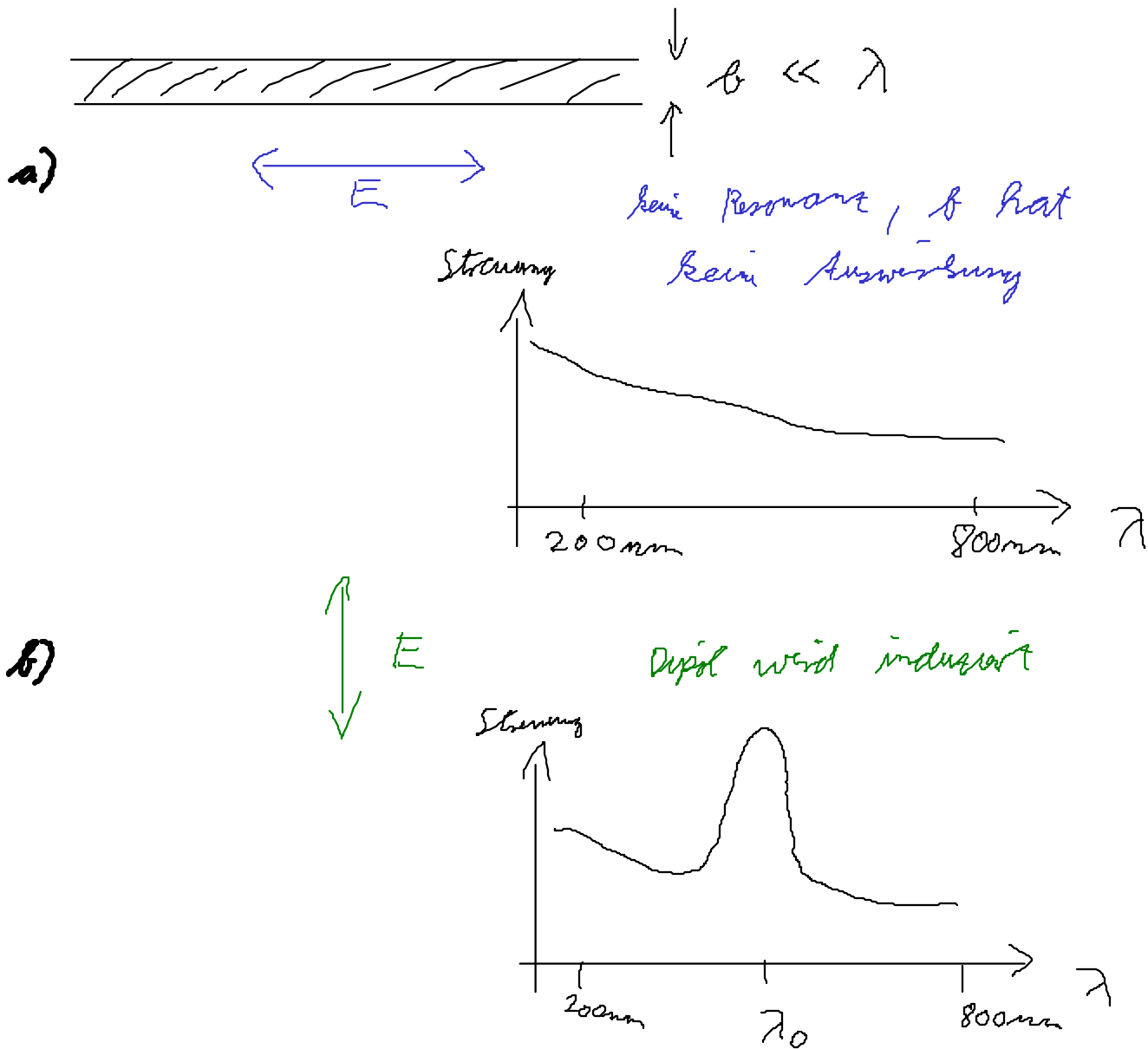
Strömung an kleinen Metallpartikeln

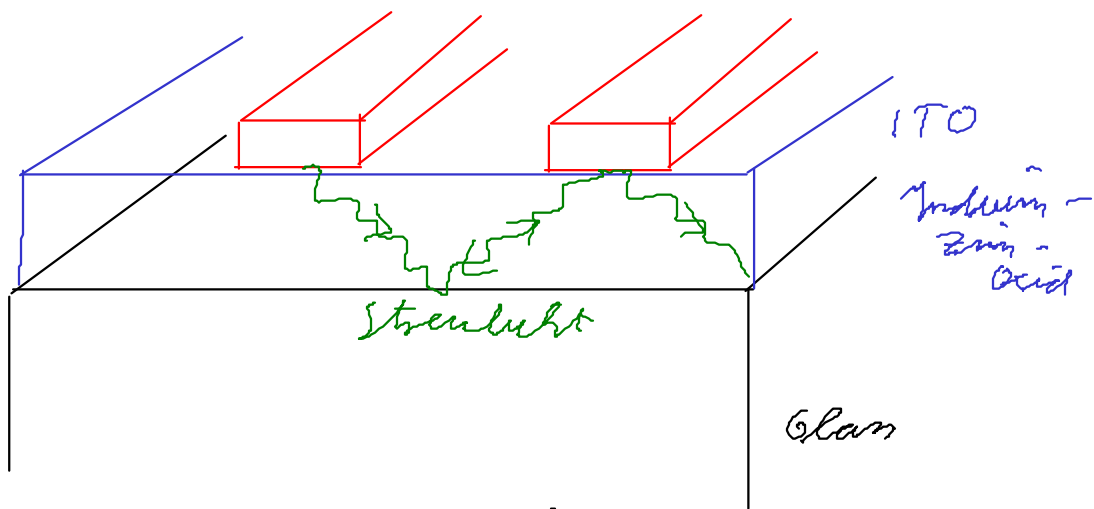
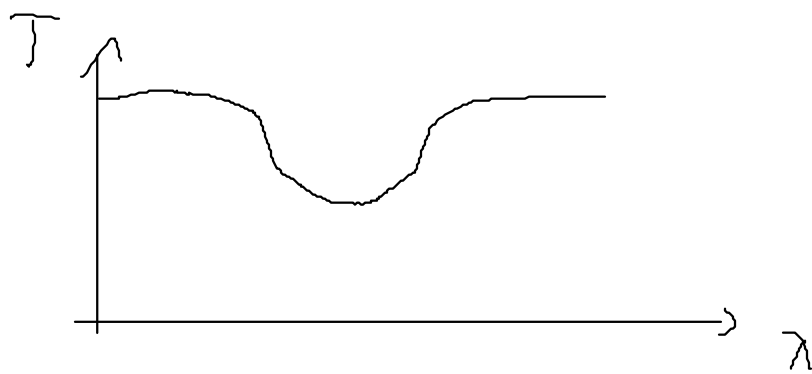
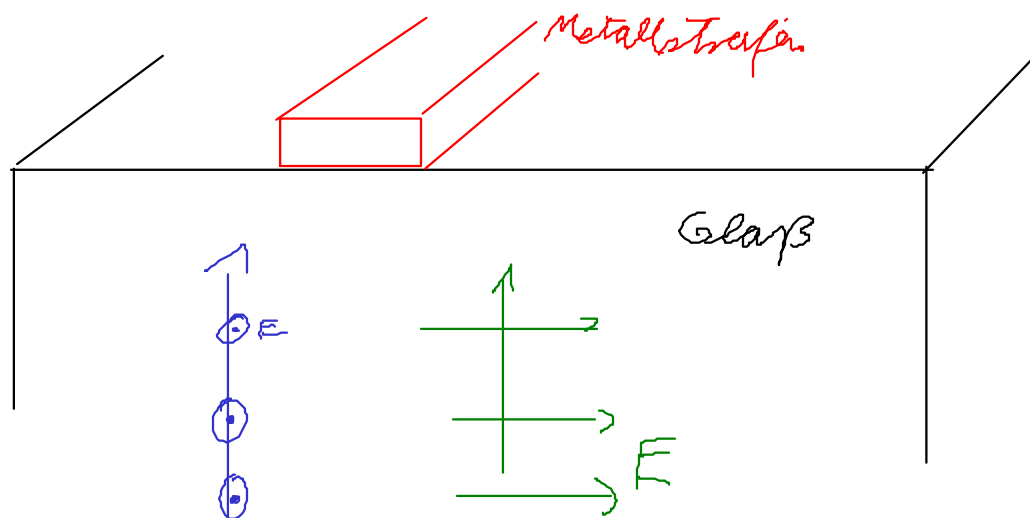
Resonanz oft im UV - Bereich

Gold hat Resonanz bei $\lambda \approx 550\text{ nm}$

Anwendung: Dispersionfarbe, TiO_2 (= weiß)

Milch (Fetttröpfchen mit $d \approx 2\text{ }\mu\text{m}$)





ITO kann nur 2D Wellenleiter funktionieren

Staubklett, das in den Wellenleiter angekoppelt wird

Nur eine Wellenlänge kann auf Resonanz treffen

Extinktion - "fehlende" Wirkung
(Struktur, Absorption, Reflexion, ...)

TE - Polarisation

$$\vec{E} \parallel \text{Strahlen}$$

(keine Resonanz der Partikel)

TM - Pol.

$$\vec{M} \parallel \text{Strahlen} \Leftrightarrow \vec{E} \perp \text{Strahlen}$$

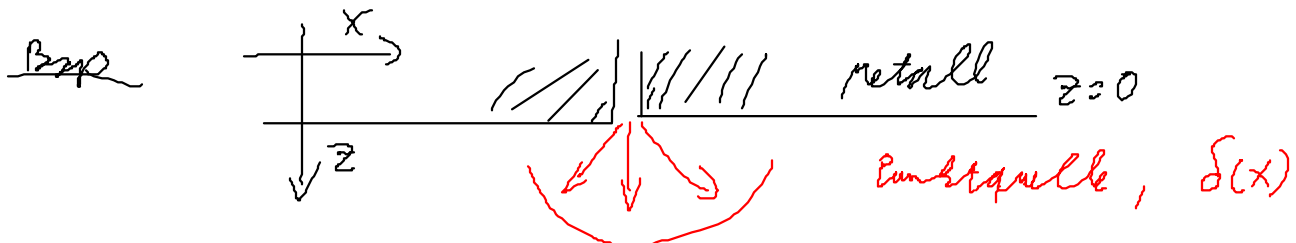
(Resonanz der Partikel)

Narfeld

Spitze über Strahlen fahren

Theorie des Narfelddopplereffekts

E - Feld → FT → Propagation → FT → E - Feld am Ziel



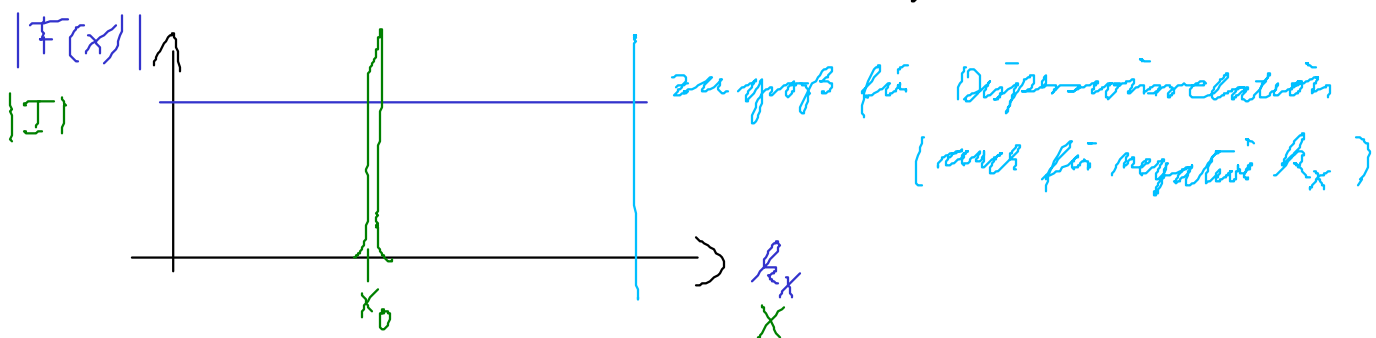
in Orbitaum, $z=0$

Intensität $I = \delta(x - x_0)$

im k -Raum?

$$F(k_x) = \int_{-\infty}^{\infty} \delta(x - x_0) e^{ik_x x} dx = e^{-ik_x x_0}$$

(keine Wellenlänge da keine Propagation)



ein normales Mikroskop kann nicht alle k_x erfassen

7. Dispersionseigenschaft muss erfüllt sein: $|k| = \frac{\omega}{c}$

$$|k| = \sqrt{k_x^2 + k_z^2} \quad k_x = k \sin \theta$$

Rücktransformation der beschnittenen $F(x)$ -Funktion

$$E(x) = \int_{-\frac{\omega}{c}}^{\frac{\omega}{c}} 1 \cdot e^{ik_x x_0} e^{-ik_x x} dx$$

$$= 2 \cdot \frac{\sin\left(\frac{\omega}{c} \sin \theta (x - x_0)\right)}{x - x_0}$$

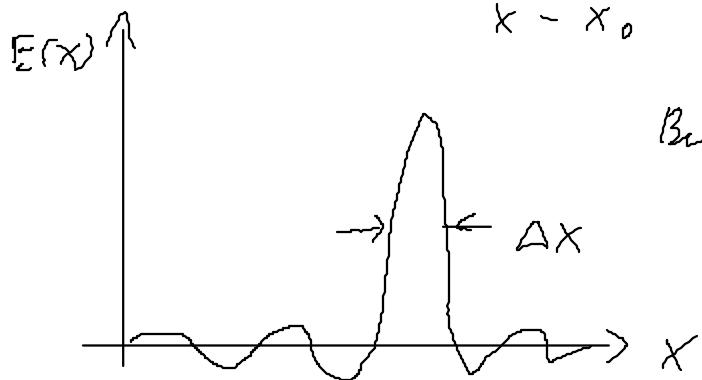


Bild der $S(x)$ -Quelle
mit Mikroskop

$$\Delta x = \frac{\lambda}{2 \sin \theta}$$

Lösung Verzerrt auf propagation im Vakuum

Wie detektiert man die evanescenten Wellen?

$$E_x(x, z=0) = E_0 C(x, -L, L)$$

eingeschlossene Welle
Rechteck von $-L$ bis L

FT:

$$\tilde{E}_1(k_x, z=0) = \int_{-\infty}^{\infty} E_0 C(x, -L, L) dx e^{ik_x x} dx$$

$$= \int_{-L}^L E_0 e^{ik_x x} dx \approx E_0 \frac{\sin k_x L}{k_x L}$$

$$E(x, z=0) = \int_{-\infty}^{\infty} dk_x \tilde{E}_1(k_x, z=0) e^{ik_x x}$$

Zum Abstand z_0 :

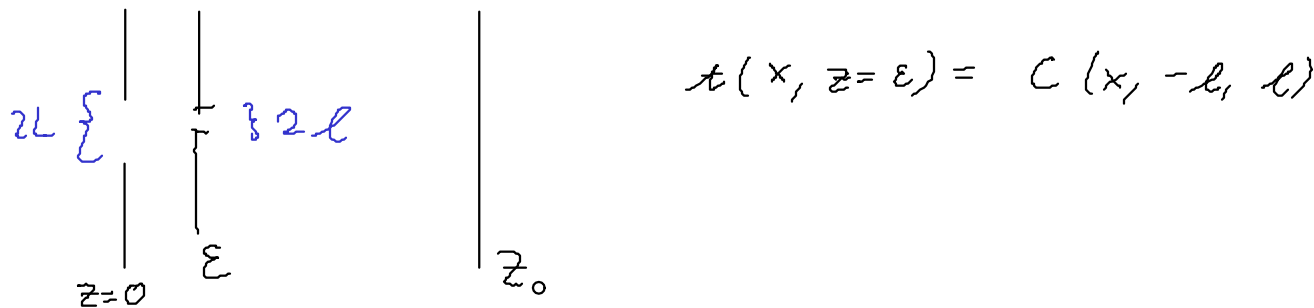
$$E(x, z=z_0) = \int_{-\infty}^{\infty} dk_x e^{-ik_x x} \tilde{E}(x, z=0) e^{-ik_z z_0}$$

mit $k = \sqrt{k_x^2 + k_z^2}$ $k_z = \sqrt{k^2 - k_x^2}$ Propagation
 $k = \frac{\omega}{c}$ nur propagerende Wellen

im Fernfeld

$$E_d(x, z=z_0) = \int_{-\frac{\omega}{c}}^{\frac{\omega}{c}} dk_x e^{-ik_x x} e^{-i\sqrt{k^2 - k_x^2} z_0} \frac{\sin k_x L}{k_x L}$$

Berei zusätzlich bei $z=\varepsilon$ eine kleine Blende ein



$$t(x, z=\varepsilon) = C(x, -l, l)$$

$$E_2(x, z=\varepsilon) = \int_{-\infty}^{\infty} dk_x e^{ik_x x} \tilde{E}_1(k_x, z=0) e^{-i\sqrt{k^2 - k_x^2} \varepsilon}$$

\uparrow
Bei $z=\varepsilon$

Direkt hinter der Apertur (= kleine Blende)

$$E_3(x, z=\varepsilon) = E_2(x, z=\varepsilon) C(x, -l, l)$$

Das Fernfeld bei $z=z_0$ hinter der 2. Apertur wird

$$E_d(x, z=z_0) = \int_{-\frac{\omega}{c}}^{\frac{\omega}{c}} dk_x e^{-ik_x x} e^{-i\sqrt{k^2 + k_x^2} (z_0 - \varepsilon)}$$

$$\cdot \int_{-\infty}^{\infty} dk'_x \tilde{E}_1(k'_x, z=0) e^{-\sqrt{k^2 - k_x'^2} \varepsilon} \cdot 2 \frac{\sin((k_x - k'_x) l)}{(k_x - k'_x) l}$$

$\Rightarrow k_x - k_x'$ kann auch hohe k_x durchlassen
 $\Rightarrow (k_x - k_x')$ kann zum Detektor propagieren